

陽子- ^3He 散乱による三体核力の研究

東北大学大学院 理学研究科

渡邊 跡武



Collaborators

➤ ***Tohoku University***

A. Watanabe, S. Nakai, K. Sekiguchi, T. Akieda, D. Etoh, M. Inoue, Y. Inoue, K. Kawahara, H. Kon, K. Miki, T. Mukai, D. Sakai, S. Shibuya, Y. Shiokawa, T. Taguchi, H. Umetsu, Y. Utsuki, Y. Wada, M. Watanabe

➤ ***CYRIC, Tohoku University***

M. Itoh

➤ ***National Institute of Radiological Science***

T. Wakui

➤ ***RCNP, Osaka University***

K. Hatanaka, H. Kanda, H. J. Ong, D. T. Tran

➤ ***University of Miyazaki***

Y. Maeda, K. Nonaka

➤ ***RAP, RIKEN***

Y. Ikeda, Y. Otake, A. Taketani, Y. Wakabayashi

➤ ***KEK***

T. Ino

➤ ***Hosei University***

S. Ishikawa

➤ ***Vilnius University***

A. Deltuva

➤ ***Kyushu University***

S. Goto, Y. Hirai, D. Inomoto, H. Kasahara, S. Mitsumoto, H. Oshiro, T. Wakasa

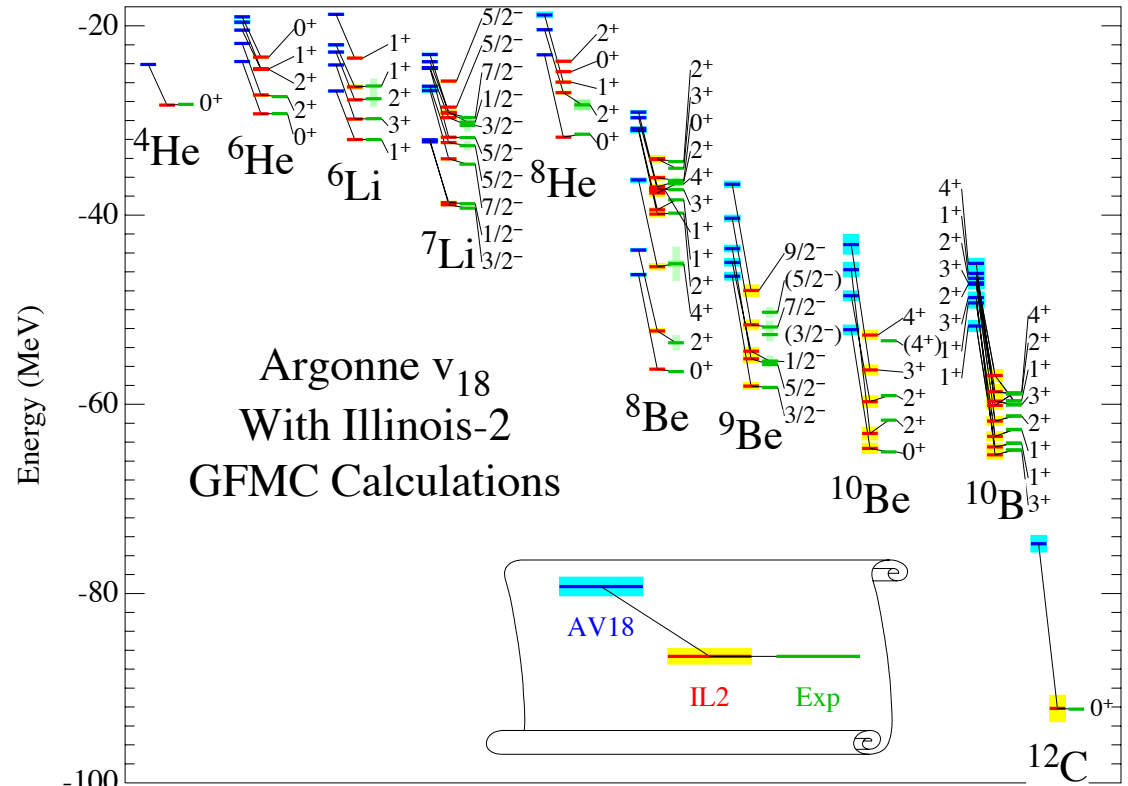
➤ ***RIKEN Nishina Center***

H. Sakai, T. Uesaka



$T = 3/2$ channel of 3NF

- Nd 散乱系では total isospin $T=1/2$ に制限
- 3NF の $T = 3/2$ channel → 中性子過剰核、非対称核物質において重要な役割



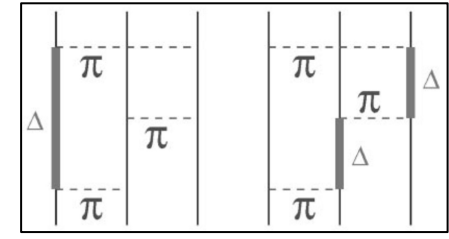
¹²C IL2 result is preliminary.

S. C. Pieper *et al.*, NPA 751, 516 (2005).

✎ 軽核の B.E. の Green's Function Monte Carlo (GFMC) 計算

- Illinois-II (IL2) 3NF :
 2π -exchange 3NF + 3π -ring with Δ -isobar

3NF の $T = 3/2$ 成分を含む



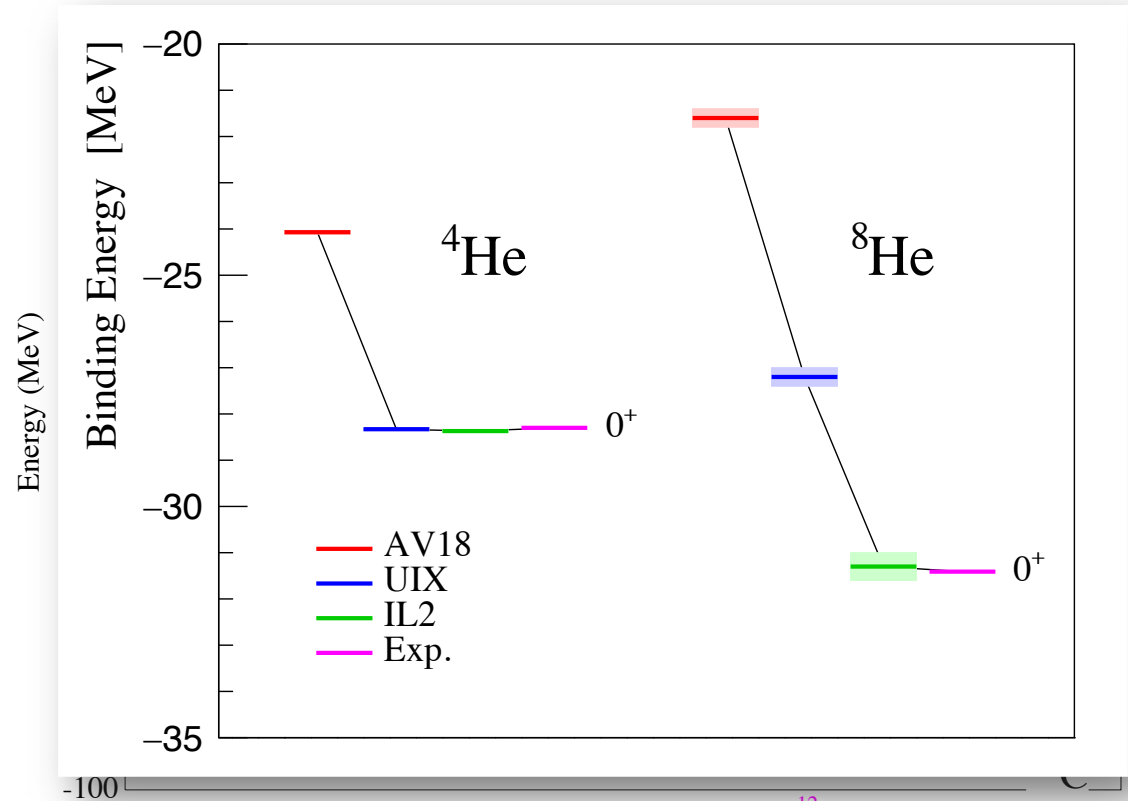
✎ 中性子核物質 (中性子星) の性質

- 3NF の $T = 3/2$ 成分のみが寄与
- IL2 3NF でも理解が不十分



$T = 3/2$ channel of 3NF

- Nd 散乱系ではtotal isospin $T=1/2$ に制限
- 3NFの $T = 3/2$ channel → 中性子過剰核、非対称核物質において重要な役割



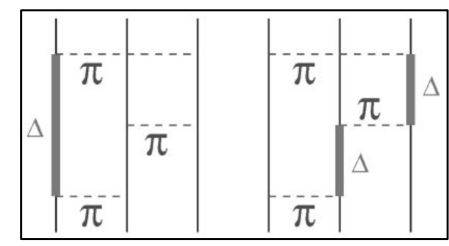
¹²C IL2 result is preliminary.

S. C. Pieper *et al.*, NPA 751, 516 (2005).

✎ 軽核の B.E. の Green's Function Monte Carlo (GFMC) 計算

- Illinois-II (IL2) 3NF :
 2π -exchange 3NF + 3π -ring with Δ -isobar

3NF の $T = 3/2$ 成分を含む



✎ 中性子核物質 (中性子星) の性質

- 3NF の $T = 3/2$ 成分のみが寄与
- IL2 3NF でも理解が不十分



3NF Study via p - ^3He Scattering

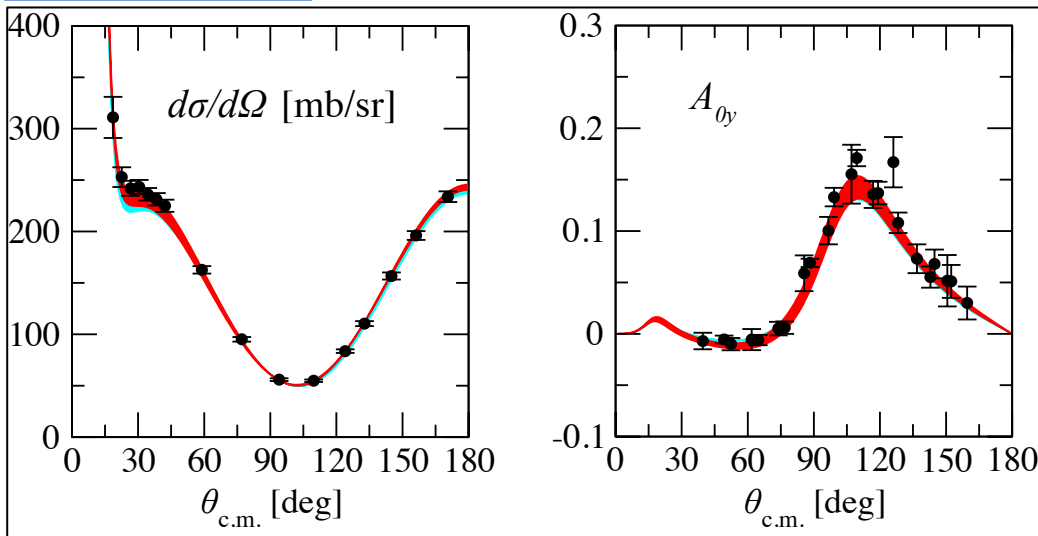
Measurement of $p + ^3\text{He}$ system ($E_p \geq 65$ MeV)

- ✎ 少数系から多体系へのFirst Step
 - ✓ Verifying 3NFs determined from Nd scattering system.
- ✎ $T = 3/2$ 3NFsへのアプローチ
- ✎ Theory in progress...

Observables

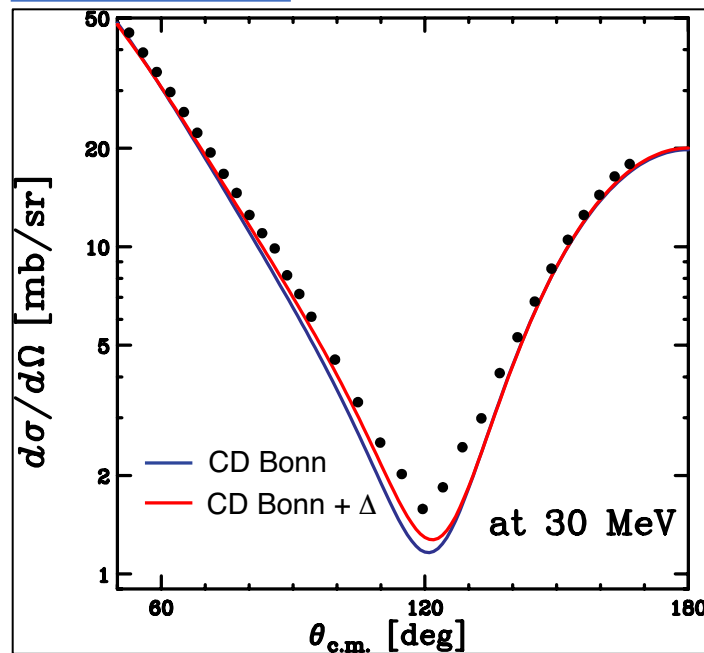
*Cross section,
Analyzing powers,
Spin correlation coefficients.*

$E_p = 5.54$ MeV



M. Viviani *et al.*, PRL **111**, 172302 (2013).

up to 30 MeV



A. Deltuva and A. C. Fonseca, PRC **87**, 054002 (2013).



3NF Study via p - ^3He Scattering

Measurement of $p + ^3\text{He}$ system ($E_p \geq 65$ MeV)

- ✎ 少数系から多体系へのFirst Step
 - ✓ Verifying 3NFs determined from Nd scattering system.
- ✎ $T = 3/2$ 3NFsへのアプローチ
- ✎ Theory in progress...

Observables

*Cross section,
Analyzing powers,
Spin correlation coefficients.*

$E_n = 5.54$ MeV

— 2NF
— 2NF + 3NF

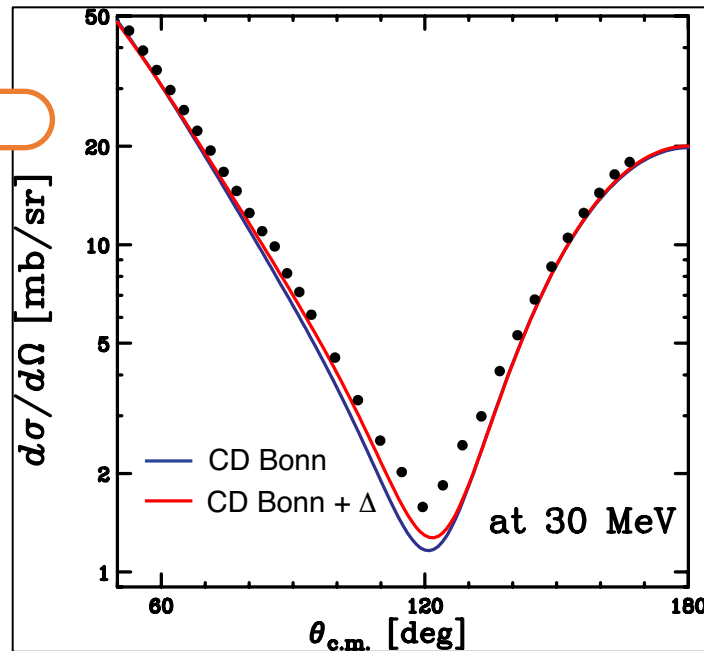
本発表では...

- ✎ NNポテンシャルによる厳密理論計算との比較
- ✎ CD-Bonn+ Δ ポテンシャルでの Δ -isobar effectの議論
- ✎ Nd 散乱との性質・傾向の違い



M. Viviani *et al.*, PRL **111**, 172302 (2013).

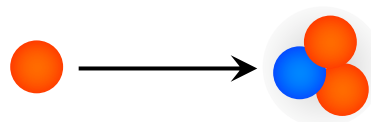
up to 30 MeV



A. Deltuva and A. C. Fonseca, PRC **87**, 054002 (2013).



Measurements of proton- ^3He Scattering



Reported in “AW *et al.*, Phys. Rev. C **103**, 044001 (2021)”.

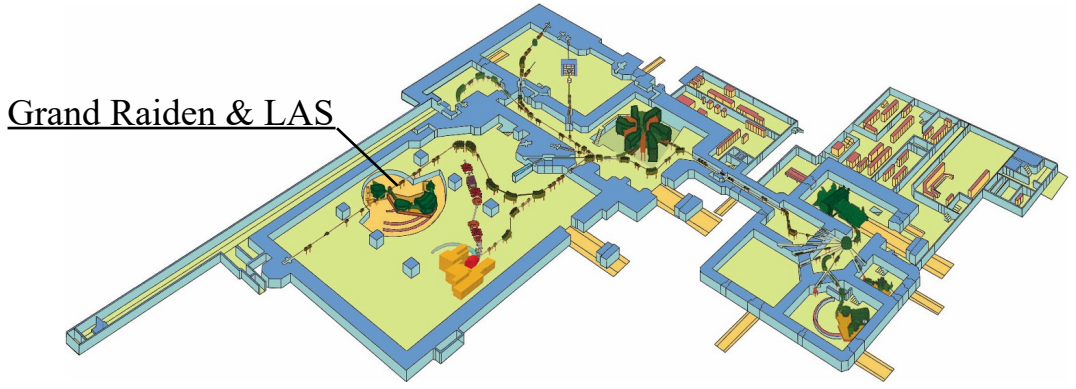


Summary of Measurements for $p+{}^3\text{He}$

| | | | | |
|--|--------------------------------|------------------------------|---------------------------------------|---------------------------------------|
| Incident Energy | 70 MeV | 65 MeV | 65 MeV | 100 MeV |
| Beam | p | pol. p | pol. p | pol. p |
| Observables | $A_y({}^3\text{He})$ | $d\sigma/d\Omega, A_y(p)$ | $A_y(p), A_y({}^3\text{He}), C_{y,y}$ | $A_y(p), A_y({}^3\text{He}), C_{y,y}$ |
| Measured Angles ($\theta_{\text{c.m.}}$) | 46°– 141° | 27°– 170° | 46°– 133° | 47°– 149° |
| Facility | CYRIC , Tohoku Univ. | RCNP , Osaka Univ. | RCNP , Osaka Univ. | RCNP , Osaka Univ. |
| Exp. Course | 41 course | WS course | ENN course | ENN course |



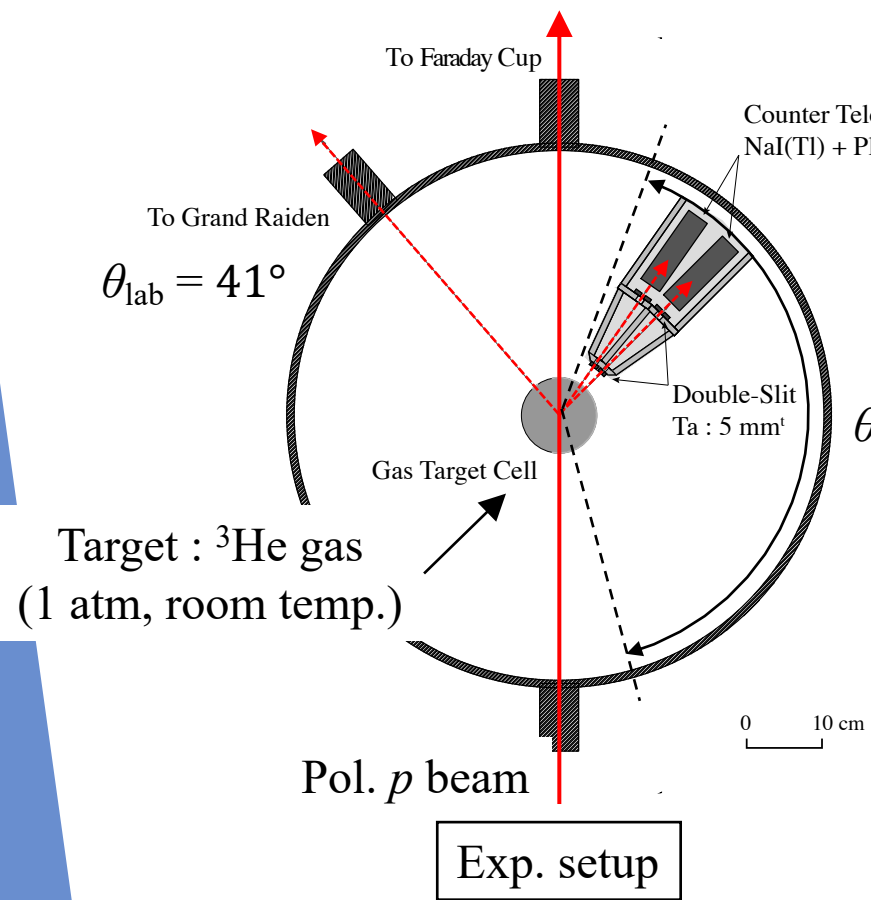
CYRIC (AVF cyclotron)



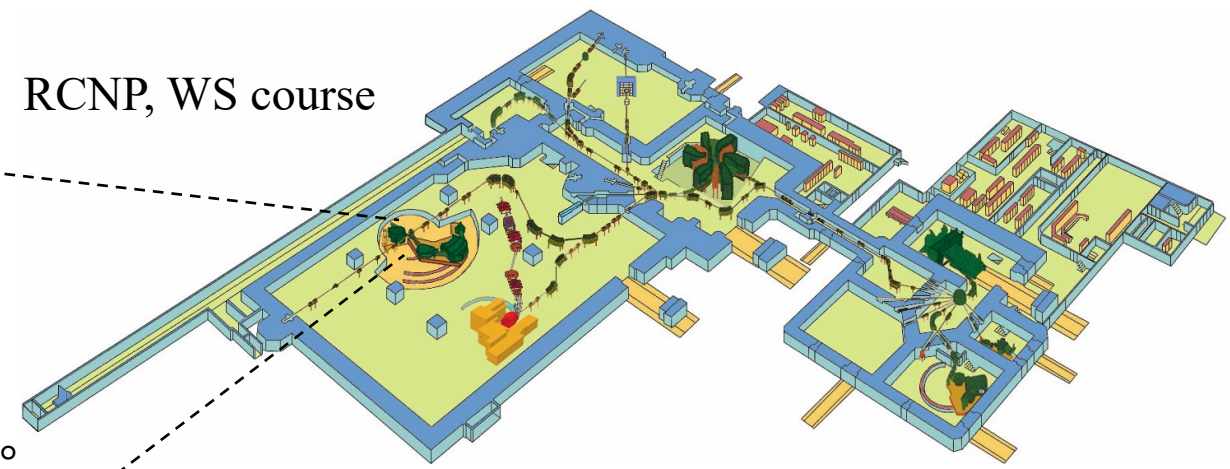
RCNP



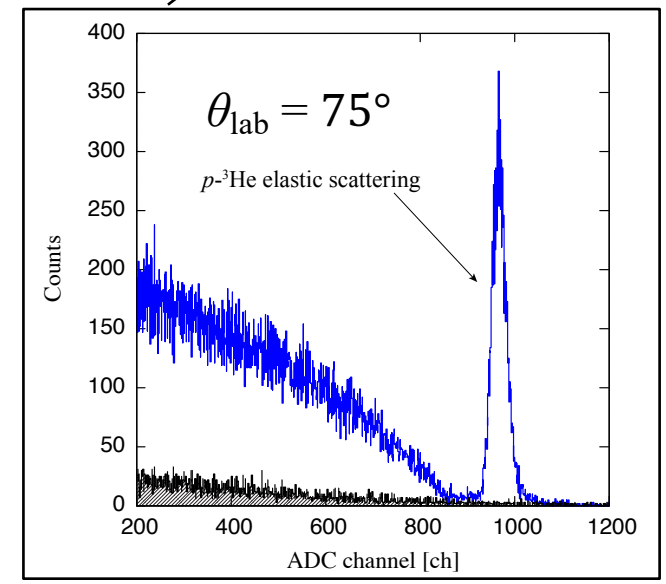
Measurement of Differential Cross Section



RCNP, WS course



$\theta_{lab} = 20^\circ - 165^\circ$

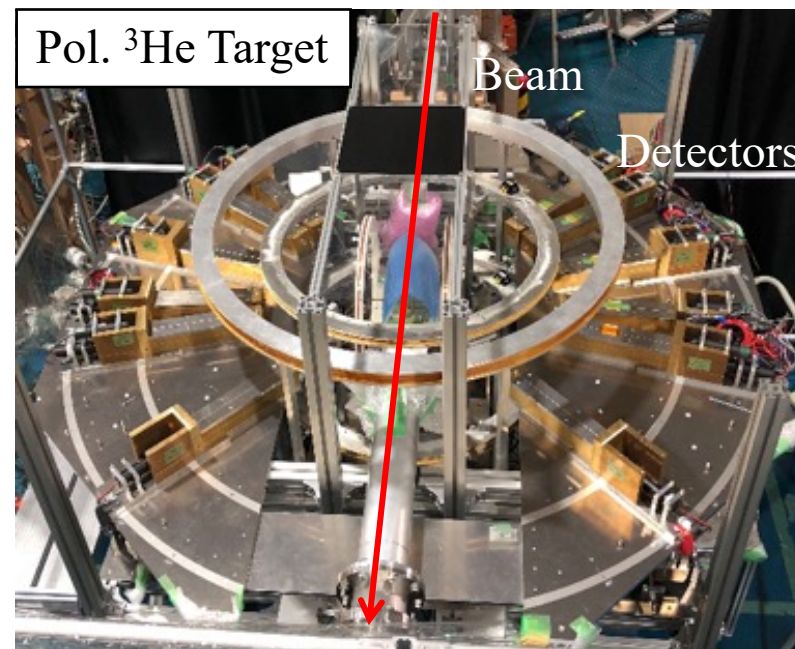
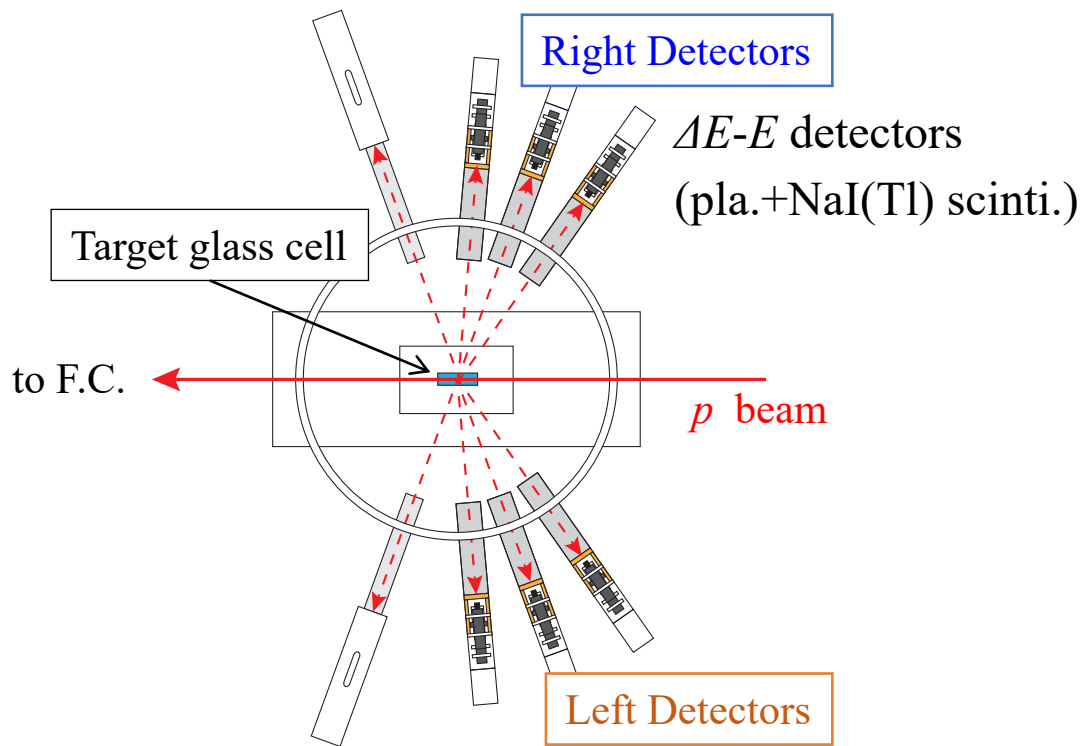


Grand Raiden & LAS



Experimental Setup with Pol. ^3He Target

@CYRIC, RCNP



$$\frac{d\sigma}{d\Omega} = \left(\frac{d\sigma}{d\Omega} \right)_0 (1 + p_y A_y)$$



| Left | Right |
|--|---|
| $A_{0y} = \frac{1}{p_y} \frac{n_L^\uparrow - n_L^\downarrow}{n_L^\uparrow + n_L^\downarrow}$ | $= \frac{1}{p_y} \frac{n_R^\downarrow - n_R^\uparrow}{n_R^\uparrow + n_R^\downarrow}$ |

p_y : Target polarization

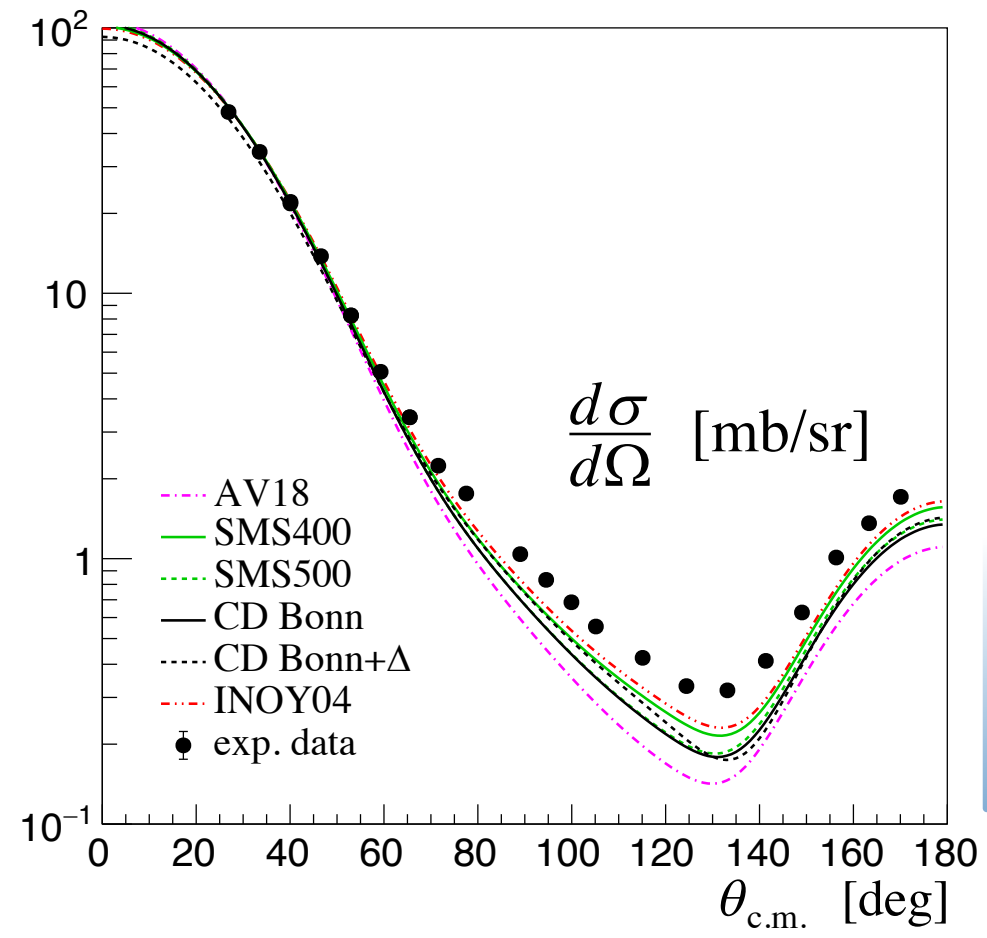
A_{0y} : ^3He analyzing power

$n^{\uparrow\downarrow}$: Normalized yield at spin up (\uparrow)/down (\downarrow)



Differential Cross Section for $p+^3\text{He}$ @65 MeV

*Calculations : A. Deluva, private communications



AV18, CD-Bonn : 現実的核力ポテンシャル
INOY04 : 3NF 無しで ^3H , ^3He の B.E. 再現
SMS : Chiral EFT (2NF, N⁴LO+)
CD-Bonn+Δ : Δ-isobar dof を含む

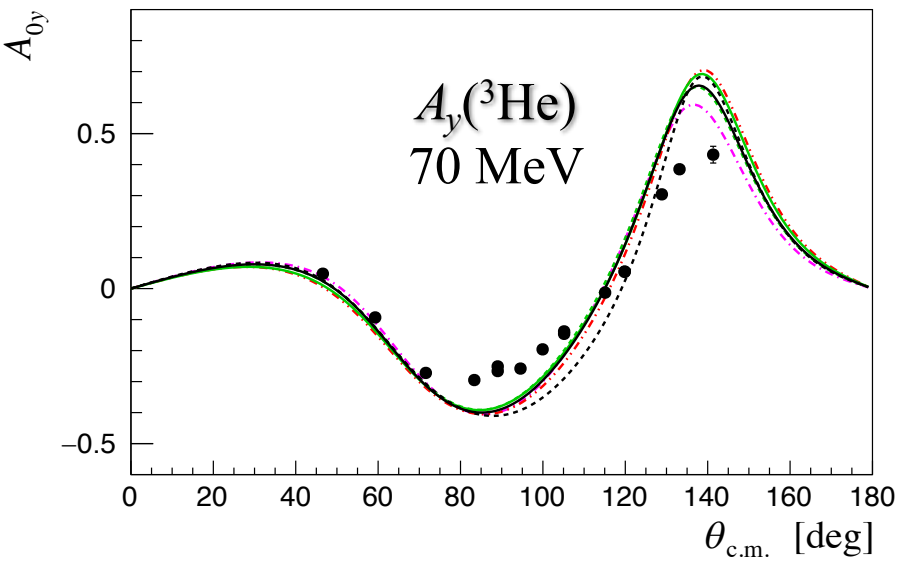
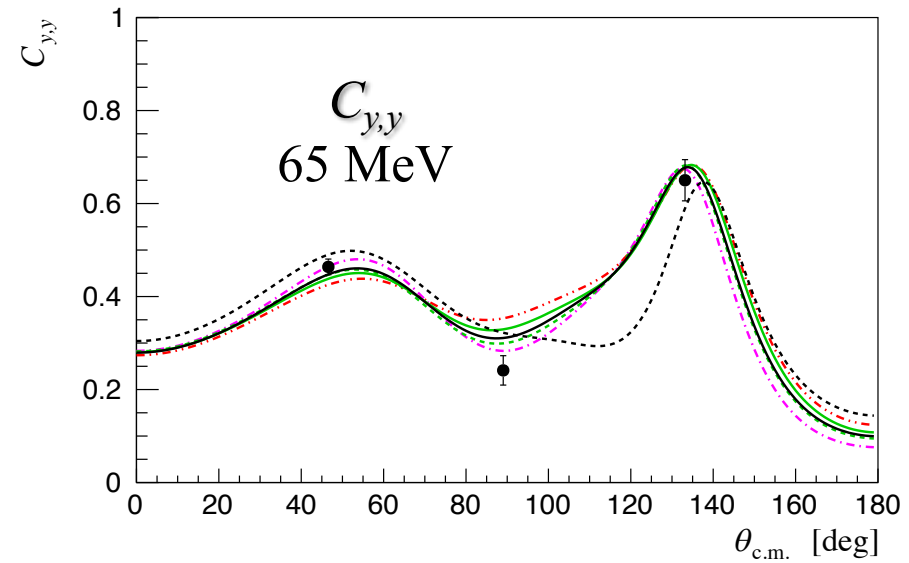
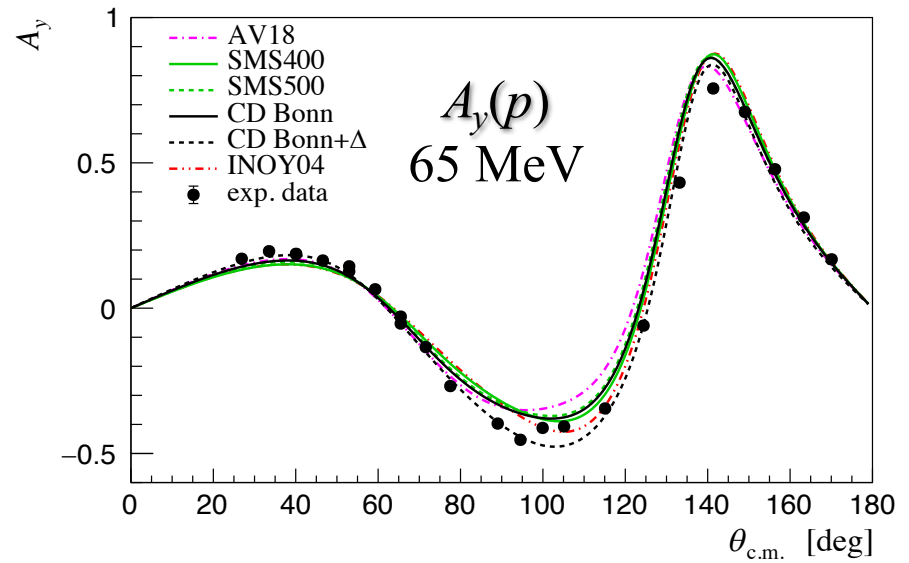
*クーロン力は考慮していない

- ✎ AGS equationによる厳密理論計算と比較
- ✎ NNポテンシャルはどれも $\theta_{\text{c.m.}} \geq 80^\circ$ で実験値を下回る
- ✎ 最小値付近で大きな差 → 20-30%
- ✎ Δ-isobar effectは非常に小さい？



Spin Observables for $p+{}^3\text{He}$ @65, 70 MeV

*Calculations : A. Deltuva, private communications



- $A_y(p)$: 実験データをおおよそ再現
- $A_{0y}({}^3\text{He})$: 最小値、最大値付近で差が見られる
- $C_{y,y}$:
 - 実験データをおおよそ再現 (ただしデータ数少ない)
 - 明確な Δ -isobar effectが示唆



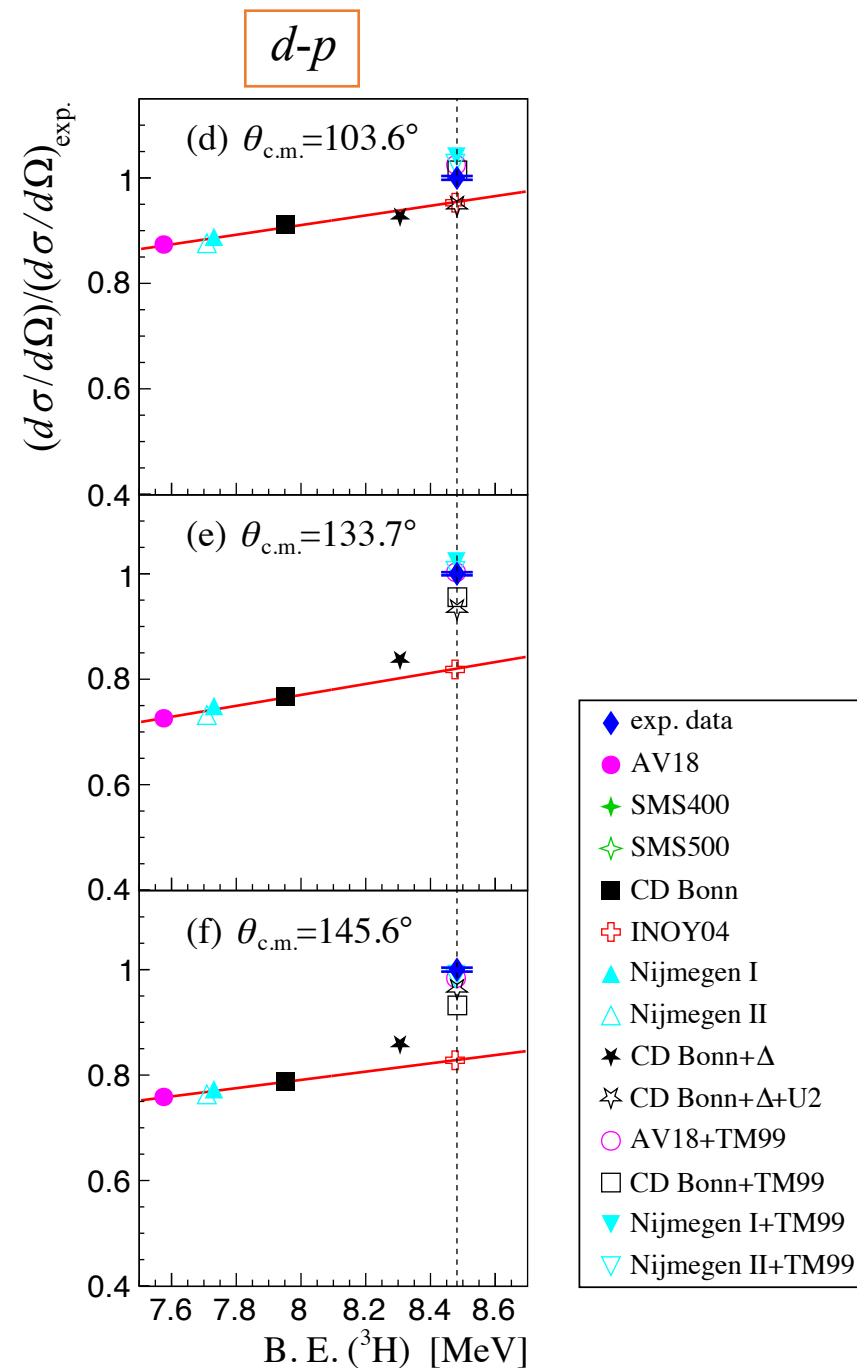
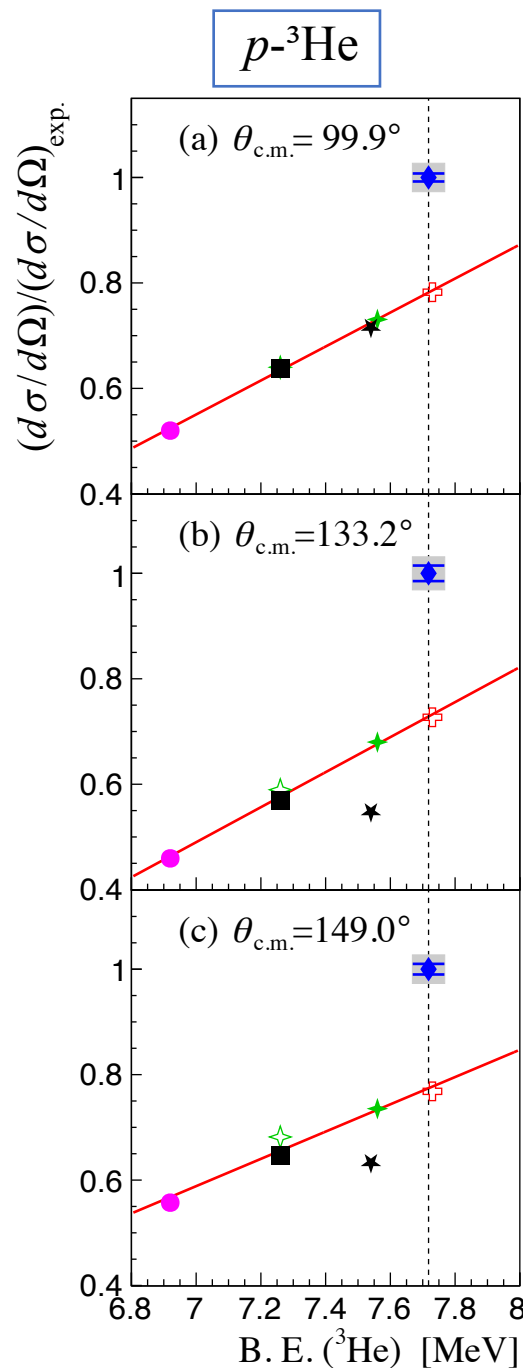
$\frac{d\sigma}{d\Omega}$ vs. $3N$ B.E.

p - ^3He @65 MeV/nucleon

- 実験値を1として各ポテンシャルの理論計算と比較
- NN ポテンシャルで線形相関
- $3N$ B.E.を再現する値と20–30%の差

d - p @70 MeV/nucleon

- 同様の相関が確認
- $3N$ B.E.を再現する値と10–20%の差
- $3NF$ の考慮によって再現



- ◆ exp. data
- AV18
- ◆ SMS400
- ◇ SMS500
- CD Bonn
- ⊕ INOY04
- ▲ Nijmegen I
- △ Nijmegen II
- ★ CD Bonn+ Δ
- ☆ CD Bonn+ Δ +U2
- AV18+TM99
- CD Bonn+TM99
- ▼ Nijmegen I+TM99
- ▽ Nijmegen II+TM99



$\frac{d\sigma}{d\Omega}$ vs. $3N$ B.E.

NN ポテンシャル依存性

p - ^3He : 0.3 /MeV
 d - p : 0.1 /MeV

d - p @70 MeV/nucleon

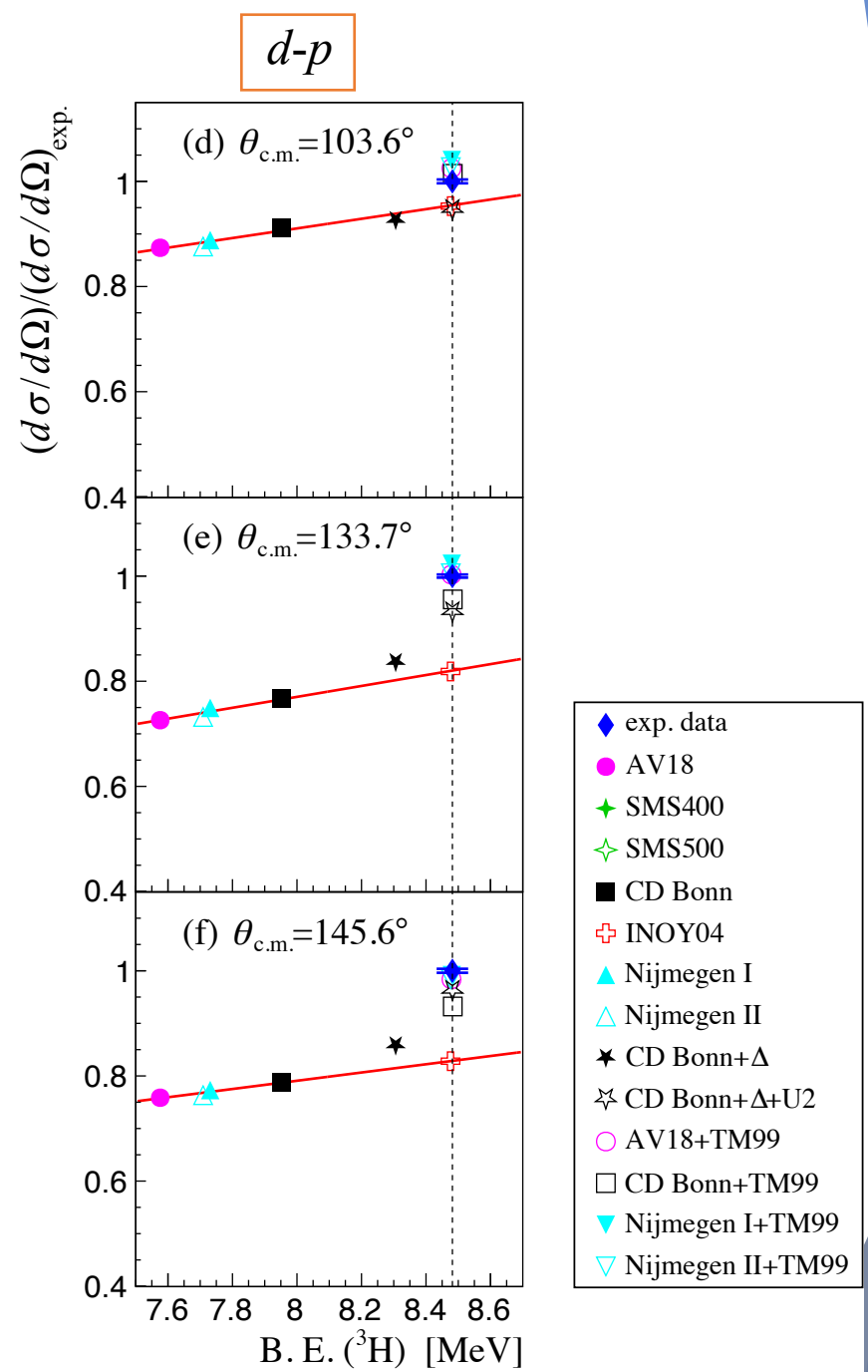
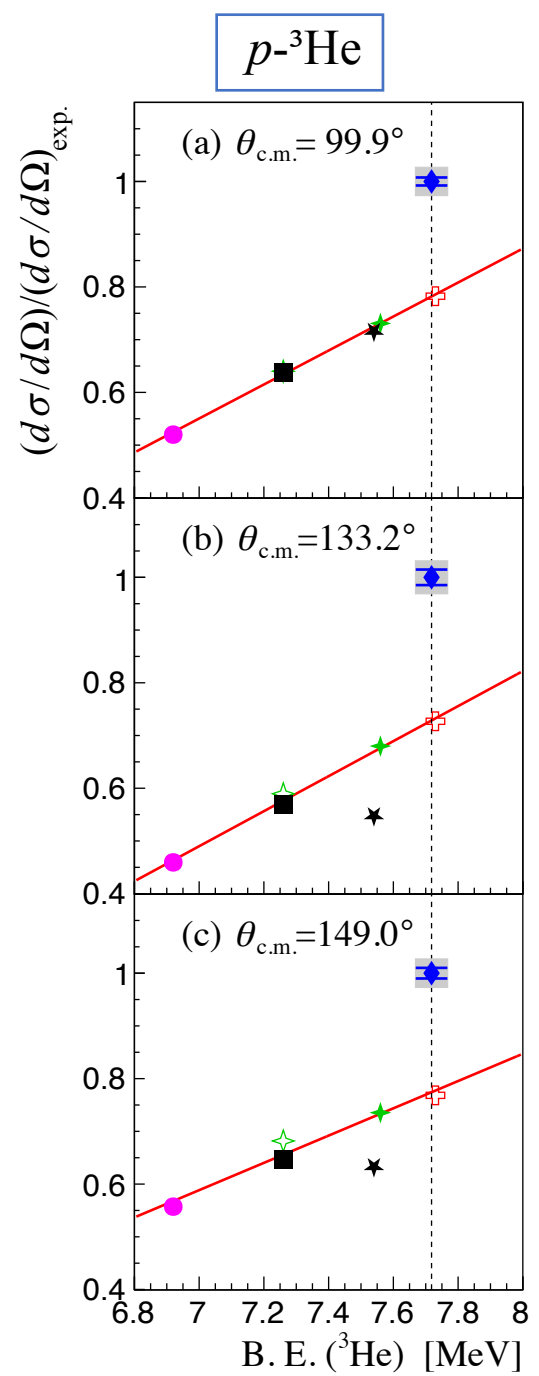
- スピン四重項状態 ($S=3/2$) が支配的
- Pauli効果により長距離成分が見えやすい?

p - ^3He @65 MeV/nucleon

- 系の全スピン : 0 or 1
- 核力の近中距離成分の効果?

Δ -isobar effectの発現性

p - ^3He : 実験値から外れる
 d - p : 再現する方向へシフト

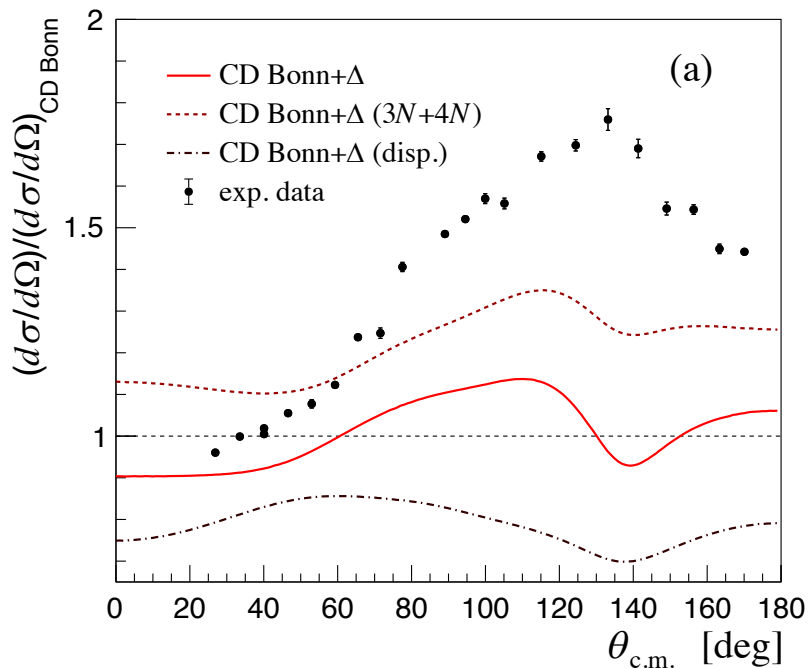
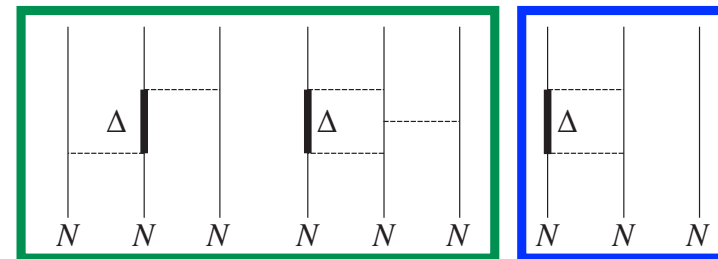


- ◆ exp. data
- AV18
- ◆ SMS400
- ◇ SMS500
- CD Bonn
- ⊕ INOY04
- ▲ Nijmegen I
- △ Nijmegen II
- ★ CD Bonn+ Δ
- ☆ CD Bonn+ Δ +U2
- AV18+TM99
- CD Bonn+TM99
- ▼ Nijmegen I+TM99
- ▽ Nijmegen II+TM99

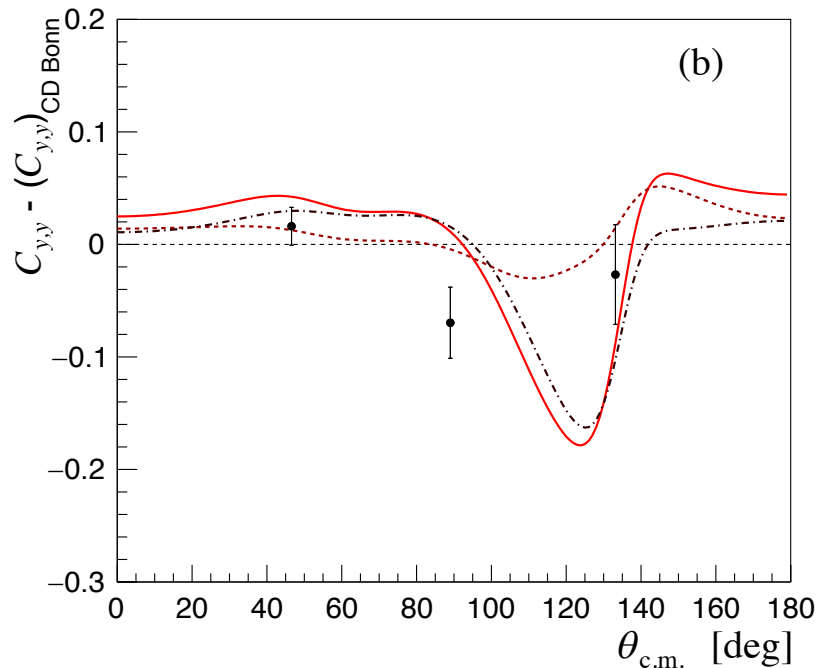


Δ -Isobar Effects for Scattering Observables

- Δ -isobar effectを2N起因 (dispersive effect) と3, 4NFsに分解
 - Dispersive effect : Δ -isobarを含む二体相互作用
 - 3, 4NFs : Δ -isobar自由度によるEffectiveな3, 4NFs
- $d\sigma/d\Omega$: dispersive effectによって3, 4NFsがキャンセル
- $C_{y,y}$: dispersive effectが支配的



Nd 散乱系とは異なる Δ -isobar effect



Δ -isobar effectのstudyに有効な観測量



Summary and Outlook

中間エネルギー領域 ($E/A \geq 65$ MeV) における p - ^3He 弾性散乱による 3NF 研究

- ✎ Few to many への First step
- ✎ 3NF のアイソスピン $T = 3/2$ channel へのアプローチ

65, 70, 100 MeV における p - ^3He 弾性散乱測定 @CYRIC, RCNP

- ✎ $d\sigma/d\Omega$, $A_y(p)$, $A_{0y}(^3\text{He})$, $C_{y,y}$ の new data を取得
- ✎ NNポテンシャルに基づく厳密理論計算と比較
 - ✓ 2NFのみでは実験値を再現しない (Δ -isobar effect も同様)
 - ✓ d - p 散乱系とは異なる性質 (NNポテンシャル依存性、 Δ -isobar effect)
 - ✓ $C_{y,y}$ において Δ -isobar による dispersive effect が顕著

実験プローブとしての
有効性を示唆

Future Plan

p - ^3He scattering : Complete set of spin correlation coefficients

- Dispersive effect を含む Δ -isobar effect の study,
 $T = 3/2$ 3NF の詳細な議論

Thank you for your attention.